



دانشکده علوم طبیعی

گروه زمین‌شناسی

پایان‌نامه

برای دریافت درجه کارشناسی ارشد در رشته زمین‌شناسی گرایش پترولوزی

عنوان

بررسی پترولوزی و پتروگرافی منطقه آتشفشاری شمال روستای قواد عمولر،

جنوب شرق میانه (شمال غرب ایران)

استادان راهنمای

دکتر علی عامری

دکتر محسن مؤید

استادان مشاور

دکتر احمد جهانگیری

دکتر نصیر عامل

۱۴۰/۸/۱۰

ژوهشگر

امین‌اله کمالی
شهریور ۱۳۸۹

امین‌اله کمالی

شهریور ۱۳۸۹

تقدیم به:

پدر و مادر بزرگوارم

خواهران و برادران عزیزم

همسر مهربانم

و

دوستان عزیزم

تقدیر و تشکر

بی‌شک به انجام رسیدن رساله حاضر بدون مساعدت و همکاری استاد ارجمند و دوستان عزیز امکان پذیر نبوده است. لذا وظیفه خود می‌دانم که مراتب سپاس و قدردانی خود را به تمامی این عزیزان ابراز نمایم.

از استاد راهنمای گرامی و ارجمند، جناب آقایان دکتر علی عامری و دکتر محسن مؤید به دلیل راهنمایی‌های ارزنده علمی در تمامی مراحل انجام این پایان‌نامه سپاسگزارم. از استاد مشاور جناب آقایان دکتر احمد جهانگیری و دکتر نصیر عامل به خاطر راهنمایی‌ها و مساعدت‌های صمیمانه‌شان نهایت تشکر را دارم. از خانم دکتر حاج علی اوغلی که زحمت داوری این رساله را قبول کردند نهایت قدردانی را داشته و از دیگر استاد بزرگوار گروه زمین شناسی دانشگاه تبریز آقایان دکتر مؤذن و دکتر کلاگری و مدیریت محترم گروه جناب آقای دکتر اصغری مقدم نهایت سپاسگزاری را دارم.

از تمامی کارمندان محترم دانشکده علوم طبیعی به ویژه آقایان جعفرپور، جهانیار، مسیب‌زاده، اکبرپور و خانمها سمساری، اجلالی، علیزاده به خاطر مساعدت‌هایشان سپاسگزارم.

در این میان نمی‌توان لطف و محبت دوستان را که در تمامی مراحل اینجانب را یاری و کمک نموده‌اند فراموش نمود، امید است این دوستان، سپاس و تشکر قلبی اینجانب را پذیرا باشند. در نهایت از خانواده بزرگوار و گرامیم پدر دلسوز، مادر مهربان، خواهران، برادرانم و خانواده‌های محترم شان و همسر مهربانم بخاطر همراهیشان تشکر می‌کنم.

نام خانوادگی: کمالی

عنوان پایان نامه: بررسی پترولوزی و پتروگرافی منطقه آتشفسانی شمال روستای قواق عمولر جنوب میانه شمال غرب ایران

استاد راهنمای: دکتر علی عامری ، دکتر محسن موید استاد مشاور: دکتر احمد جهانگیری، دکتر نصیر عامل

مقطع تحصیلی: کارشناسی ارشد گرایش: پترولوزی رشته: زمین شناسی

دانشکده: علوم طبیعی تاریخ فارغ التحصیلی: شهریور ۸۹ تعداد صفحه: ۸۸

کلید واژه‌ها: آندزیت بازالتی، ریولیت، کالک-آلکالن متالومینوس، فرورانش، میانه

چکیده

سنگ‌های آتشفسانی مورد مطالعه با مختصات جغرافیایی طول شرقی 30° و 47° تا 48° و عرض شمالی 37° تا 30° و 37° در شمال باختیری ایران قرار دارند. سن این سنگ‌ها ائوسن، الیگوسن بوده و دارای ترکیب سنگ شناسی متنوعی می‌باشند. سنگ‌های آتشفسانی محدوده مورد مطالعه در جنوب شرق میانه از لحظه کانی شناسی شامل پلازیوکلاز، پیروکسن، سانیدین، الیوین، هورنبلند و بافت‌های پورفیری و میکرولیتیک پورفیری را نشان می‌دهند. در این سنگ‌ها پلازیوکلازها بافت غربالی و زونینگ عادی نشان می‌دهند. کانی‌های الیوین دگرسان شده و آثار بافت گلومرپورفیریک در آنها دیده می‌شود و هورنبلندها نیز حاشیه سوخته دارند. این سنگ‌ها عمدتاً در محدوده آندزیت بازالتی با ویژگی کالک-آلکالن با پتاسیم کم و متالومینیوم قرار می‌گیرند. غنی شدگی LREE با ویژگی کالک-آلکالن با پتاسیم کم و متالومینیوم قرار می‌گیرند. غنی شدگی HREE، غنی شدگی Sr، تهی شدگی (HFSE) (Ti, Nb, Y, Zr, Pr, P, Rb) و غنی شدگی از K از ویژگی‌های این سنگ‌ها می‌باشد. آنومالی‌های منفی Ti و Nb در TNT (TNT) در این نمونه‌ها مشابه ویژگی‌های مناطق فرورانشی می‌باشد. این سنگ‌ها ویژگی‌های ترکیبی مشابه با مذاب‌های مشتق شده از گوشنے غنی شده با حدود ۱ تا ۵ درصد ذوب بخشی با منشا گارنت لرزولیت را نشان می‌دهند. تغییرات نسبت Rb/Sr و Nb/Th در این سنگ‌ها شاخصی از احتمال وجود فاز فلوگوپیت در منشا می‌باشد. از طرفی نسبت‌های K/P (برابر $6/5$ تا $4/3$) و La/Nb (برابر $1/7$ تا $2/68$) شاخصی از وجود آلایش در این سنگ‌ها توسط سنگ‌های پوسته‌ای می‌باشد. از نظر محیط تکتونیکی تشکیل، این سنگ‌ها در محدوده کمان ماقمایی و حاشیه فعال قاره قرار می‌گیرند و می‌توان تشکیل آنها رابه ذوب بخشی پوسته فرورونده با منشا گارنت لرزولیت دارای کمی کانی‌های آبدار در کمان حاشیه فعال قاره نسبت داد.

فهرست مطالب

فصل اول: بررسی منابع

۱	۱- آندزیتها
۲	۱-۱ منشاء آندزیتها
۲	۲-۱ منشاء اولیه برای آندزیتها
۴	۲- سریهای ماگمایی
۵	۱-۲ ماگماهای سری کالک-آلکان
۷	۱-۳ فعالیتهای ماگمایی رخداده در طول فرایند کوهزایی
۷	۱-۳-۱ ژنر ماقمایی در قوسهای فروزانشی
۹	۱-۳-۲ ژنر ماقمایی در قوسهای بعد از تصادم

فصل دوم: مواد و روش ها

۱۲	۱- موقعیت جغرافیایی و راههای دسترسی به مطقه
۱۳	۲- روش کار و سیر
۱۳	۱-۲-۱ کارهای کتابخانه‌ای
۱۴	۲-۲-۱ مطالعات صحرایی
۱۴	۲-۲-۲ مطالعات آزمایشگاهی
۱۴	۴-۲-۱ مطالعات نهایی و نگارش پایان نامه
۱۵	۳-۲-۲ پیشینه پژوهشی

فصل سوم: بحث و نتیجه گیری

۱۷	۱-۳ ماگماتیسم ترشیری در ایران
۱۷	۱-۱-۳ مقدمه
۱۷	۲-۱-۳ آتشفسانی پالثوسن
۱۸	۳-۱-۳ آتشفسانی انوسن - الیگوسن
۱۹	۴-۱-۳ آتشفسانی الیگوسن
۱۹	۲-۲ زمین شناسی عمومی و تکتونیک آذربایجان
۲۰	۳-۳ موقعیت منطقه مورد مطالعه در تقسیم بندی زمین شناسی ایران
۲۳	۴-۴ زمین شناسی منطقه مورد مطالعه
۲۶	۵-۳ پتروگرافی سنگهای آتشفسانی
۲۶	۱-۵-۳ آندزیت بازالتی
۲۶	۱-۱-۵-۳ ویژگیهای ماکروسکوپی:
۲۷	۲-۱-۵-۳ ویژگیهای میکروسکوپی
۲۷	۱-۲-۱-۵-۳ کانیهای اصلی
۲۹	۲-۱-۵-۳ کانیهای فرعی
۲۹	۳-۲-۱-۵-۳ کانیهای ثانویه

۲۹	۵-۱-۲-۵-۳ بافت
۳۰	۵-۲-۲-۵-۳ ریولیت ها
۳۰	۳-۵-۲-۱-ویژگیهای ماکروسکوپی
۳۱	۳-۵-۲-۲-۱-ویژگیهای میکروسکوپی
۳۱	۳-۵-۲-۲-۱-کانیهای اصلی
۳۱	۳-۵-۲-۲-۲-کانیهای فرعی
۳۲	۳-۵-۲-۲-۳-کانیهای ثانویه
۳۲	۳-۵-۲-۲-۴ بافت
۳۳	۳-۵-۳ نتیجه گیری
۳۴	۶-۳ ژئوشیمی
۳۷	۳-۶-۱-نامگذاری سنگهای آتششانی منطقه ب بنای ترکیب شیمیایی
۳۸	۳-۶-۱-۱-اروش TAS
۴۰	۳-۶-۲-۱-دیاگرام (Dela Roche et al., 1980)
۴۱	۳-۶-۳-۱-نامگذاری بر اساس عناصر فرعی
۴۲	۳-۶-۳-۴-اندیس آلومینیم و پتاسیم سنگهای منطقه
۴۲	۳-۶-۴-۱-۱-اندیس آلومینیم
۴۳	۳-۶-۴-۲-۱-اندیس پتاسیم
۴۶	۷-۳ تعیین سری ماگمایی
۴۷	۳-۸-۱-ژئوشیمی عناصر اصلی
۵۰	۳-۹-۱-الگوی چند عنصری (نمودار عنکبوتی)
۵۵	۳-۱۰-۱-پتروژئر سنگهای منطقه
۶۴	۳-۱۱-۱-ژئودینامیسم منطقه مورد مطالعه
۷۱	۳-۱۱-۲-مدل ژئو دینامیکی ماگماتیسم کرتاسه واوسن در البرز غربی - آذربایجان
۷۶	۳-۱۲-۱-نتیجه گیری
۷۹	منابع

فهرست شکل‌ها

۸.....	(شکل ۱-۱)، طرح شماتیک از موقعیت تکتونیکی فرورانش (Peacock, 1993)
۱۲.....	(شکل ۱-۲) نقشه راههای دسترسی به منطقه مورد مطالعه.
۱۳.....	(شکل ۲-۲) نقشه زمین‌شناسی منطقه مورد مطالعه.
۲۲.....	(شکل ۲-۳) تقسیم بندی زونهای ساختمانی و رسوبی ایران (Stocklin, 1968)
۲۲.....	(شکل ۲-۴) واحدهای ساختمانی - رسوبی ایران نوی (۱۳۵۵)
۲۴.....	(شکل ۳-۲): a) نمایی از آگلومراهای
۲۵.....	(شکل ۴-۳) A-آبینه گسلی.
۲۶.....	(شکل ۵-۳) a) نمونه ای از فنوریستهای پلازیوکلارز.
۲۸.....	(شکل ۶-۳): a) ماکل پلی سنتیک و زونینگ در پلازیوکلارز.
۳۰.....	(شکل ۷-۳): a) نمونه ارکلینو پروکسن.
۳۱.....	(شکل ۸-۳): a) نمونه دستی رویلت که در آن هورنبلند.
۳۳.....	(شکل ۹-۳): a) ساندین، هورنبلند اپاسیته شده.
۳۶.....	(شکل ۱۰-۳) دیاگرام سیلیس در مقابل مجموع آلکالی جهت. تصحیح مقادیر آهن (Lemaitre, 1976b)
۳۹.....	(شکل ۱۱-۳) طبقه بندی سنگ‌های مورد مطالعه با استفاده از نمودار (Cox et al , 1979)
۳۹.....	(شکل ۱۲-۳) طبقه بندی سنگ‌های آذرین با استفاده از نمودار (Le Bas et al , 1986)
۴۰.....	(شکل ۱۳-۳) طبقه بندی سنگ‌های آذرین با استفاده از نمودار (Middlemost, 1994)
۴۱.....	(شکل ۱۴-۳) طبقه بندی سنگ‌های منطقه مورد مطالعه در نمو. ار (De la Roche et al, 1980) R1-R2
۴۲.....	(شکل ۱۵-۳) نمودار $\text{SiO}_2 - \text{Zr}/\text{TiO}_2$ (Winchester and F oyd, 1977)
۴۳.....	(شکل ۱۶-۳) نمودار نسبت مولی A/CNK به A/NK موقیت سنگ‌های آذرین منطقه مورد مطالعه در آن (Shand, 1943)
۴۴.....	(شکل ۱۷-۳) نمودار نسبت کاتیون‌ها به منظور تعیین اندیس آلومینیم.
۴۴.....	(شکل ۱۸-۳) نمودار نسبت کاتیون‌ها به منظور تعیین اندیس آلومینیم سنگ‌های آذرین.
۴۵.....	(شکل ۱۹-۳) نمودار تعیین اندیس پتانسیم سنگ‌های آذرین (Peccerillo and Taylor, 1976)
۴۵.....	(شکل ۲۰-۳) نمودار تعیین اندیس پتانسیم سنگ‌های آذرین (Hastie, et al., 2007)
۴۶.....	(شکل ۲۱-۳) نمودار تغییرات $\text{K}_2\text{O} - \text{Na}_2\text{O}$ (Middlemost, 1972)
۴۷.....	(شکل ۲۲-۳) تعیین سری ماقمایی با استفاده از نمودار Y/Nb در مقابل SiO_2 (Winchester and Floyd, 1977)
۴۷.....	(شکل ۲۲-۳) نمودار تعیین سری ماقمایی $\text{Ta}/\text{Yb}^{\text{h}}$ (Pearce, 1982)
۴۹.....	(شکل ۲۴-۳) نمودارهای تغییرات عناصر اصلی در مقابل مقدار سیلیس برای نمونه‌های ولکانیکی منطقه.
۵۰.....	(شکل ۲۵-۳) نمودارهای تغییرات عناصر فرعی در مقابل مقدار سیلیس برای نمونه‌های ولکانیکی منطقه.
۵۳.....	(شکل ۲۶-۳) نمودار عنکبوتی سنگ‌های منطقه - نرمالیز شده سبت به گوشته اولیه (Wood, D.A. etal., 1979)
۵۳.....	(شکل ۲۷-۳) نمودار عنکبوتی سنگ‌های منطقه - نرمالیز شده نسبت به کندریت (Sun & McDonough, 1989)
۵۴.....	(شکل ۲۸-۳) نمودار عنکبوتی سنگ‌های منطقه - نرمالیز شده نسبت به MORB (Sun & McDonough, 1989)
۵۷.....	(شکل ۲۹-۳) نمودار Y/Nb در برابر Rb/Y (Pearce, 1983)
۵۸.....	(شکل ۳۰-۳) نمودار Rb/Zr در مقابل $\text{K}_2\text{O}/\text{Na}_2\text{O}$
۵۹.....	(شکل ۳۱-۳) نمودار Th/Yb در برابر Ta/Yb (Pearce, 1983)

- ۶۱.....(شکل ۳-۲) نمودار Sm/La در برابر Yb به منظور محاسبه میزان ذوب بخشی (Aldonmaz et al. 2000)
- ۶۱.....(شکل ۳-۳) محاسبه میزان در صد ذوب بخشی (a,b اقتباس از Aldonmaz et al. 2006 و Aldonmaz et al. 2000)
- ۶۳.....(شکل ۳-۴) Ba/Rb در برابر Sr برای تشخیص حضیر آمفیبول یا فلوگوییت در منشا (Furman and Graham, 1999)
- ۶۳.....(شکل ۳-۵) نمودار Rb/Sr در مقابل Nb/Th (Furman and Graham, 1999)
- ۶۵.....(شکل ۳-۶) نمودار لگاریتمی M/Yb در برابر Nb/Yb
- ۶۶.....(شکل ۳-۷) نمودار لگاریتمی Nb/Yb در برابر Nb/M. در این نمودارها M.
- ۶۹.....(شکل ۳-۸) نمودار تعیین محیط تکتونیکی (Muller & Gove, 1997)
- ۶۹.....(شکل ۳-۹) نمودار متمایز کنند ا نوع قوس های آتششناه (Pearce & Norry, 1979)
- ۷۰.....(شکل ۳-۱۰) نمودار متمایز کنند ا نوع قوس های آتششناه (Pearce & Norry, 1979)
- ۷۰.....(شکل ۳-۱۱) نمودار متمایز کنند محیط های تکتونیکی (Schandl & Gorton, 2002) نمودار
- ۷۵.....(شکل ۳-۱۲) مراحل تحول نوتیس در بخش شمال غربی آذربایجان (موید، ۱۳۸۰).

فهرست جداول

- ۳۶.....جدول (۱-۳) تجزیه عناصر اصلی سنگ های آتششناهی فوق عوامل به روش ICP-MS
- ۳۷.....جدول (۲-۳) تجزیه عناصر کماب سنگ های آتششناهی فوق عوامل به روش ICP-MS
- ۴۹.....جدول (۳-۲) ضرایب همبستگی عناصر اصلی و فرعی
- ۵۹.....جدول (۴-۳) نسبتهای استفاده شده در متان

فصل اول

بررسی منابع

۱-۱ آندزیتها

(Von Buch, 1835) نام آندزیت را برای توصیف گروهی از سنگها که در آندهای بولیوی و شیلی و همچنین شبه جزیره‌ی کامچاتکا د. شوروی یافت می‌شد به کار برد. او به این ترتیب می‌خواست این سنگها را از سنگهای تراکینی اروپا جدا سازد، ولی متأسفانه تعریف او دقیق نبود، وی آندزیتها را سنگهایی می‌دانست که از آلیت و مقدار کمی هورنبلند تشکیل شده‌اند. مطالعه‌ی چگونگی استفاده از نام آندزیت در گذشته، نشانه آن است که این نام برای توصیف سنگهای آتش‌شناختی مختلف با ترکیب حدوداً متفاوت به کرات استفاده شده است (Baker, 1982). مقدار SiO_2 آندزیتها بین بازالت و داسیت در نوسان است. Al_2O_3 این سنگها نسبتاً بالا ($X = 17\%$) و $\text{Na}_2\text{O} + \text{K}_2\text{O}$ آنها در حد متوسط ($X = 5\%$) می‌باشد. گدازه‌های آندزیتی دارای بافت‌های پوروفیری یا ویتروفیریک بوده، فنوکریستها لاقل بخشی از تاریخ تکامل سنگ را نمایان می‌سازند. ضریب رنگینی (M) این سنگها بین ۲۰ تا ۴۰ متغیر است. کانیهای اصلی و عادی این سنگها پلازیوکلاز و پیروکسن بوده و فراوان‌ترین فنوکریست آن پلازیوکلاز می‌باشد. فراوانی پلازیوکلاز حاکی از آن است که در هنگام فوران مagma آندزیتی، پلازیوکلاز فز لیکیدوس magma می‌باشد (Middlemost, 1987).

۱-۱-۱ منشاء آندزیتها

عقاید موجود درباره ژئوآندزیت را کلاً می‌توان به دو دسته تقسیم کرد. یک گروه از محققین به اولیه بودن و گروهی دیگر به ثانویه بودن magma‌های آندزیتی عقیده دارند. پیش از این چنین فکر می‌کردند که آندزیتها magma‌های ثانویه هستند. و از تفریق یا آلایش magma‌های بازالتی مشتق شده‌اند. این فرضیه‌ها هنوز طرفداران زیادی دارد. اما تجارت آزمایشگاهی نشان داده است که منشاء اولیه احتمال بیشتری دارد.

۱-۱-۲ منشاء اولیه برای آندزیتها

جایگاه اصلی ولکانیسم آندزیتی امروزه در جزایر قوسی و حاشیه قاره‌هاست و این مناطق معمولاً یک زون فروزانش را که پوسته اقیانوسی در حال فرو رفتن به درون گوشه است، در زیر خود دارند و ارتباط بین پیدایش آندزیتها و وجود زون لرزه‌خیز در زیر آتش‌شناخته‌ای آندزیتی با دلایل زیادی

اثبات شده است. رابطه خطی، درصد K_2O و عناصر کمیاب با عمق زون لرزه‌ای یک مثال در این مورد است. با توجه به کارهای تجربی که ناکنون انجام گرفته، تشکیل آندزیتها روی (یا نزدیک) پوسته اقیانوسی فرورو با احتمالات زیر همراه است. ذوب بخشی آمفیبولیت در عمق کم یا تبلور بخشی هورنبلند از یک مذاب بازالتی، ذوب بخشی اکلوژیت در عمق زیاد، ذوب بخشی پریدوتیت (گوشه) در حضور آب با شواهد کانی شناسی و صحرایی مسلم گشته که در مagmaهای آندزیتی آب فراوان است، بنابراین چنین فرض می‌شود که ذوب بخشی یا تفریق، باید در شرایط اشباع از آب و قوع یافته باشد. در عین حال این احتمال بسیار کم است که عمل ذوب در شرایط اشباع از آب اتفاق افتاده باشد، زیرا سنگهایی که منشاء magmaهای آندزیتی هستند، مقدار بسیار کمی آب دارند.

۱-۳-۱ منشاء ثانویه برای آندزیتها

- منشاء تفریق: معمولاً چنین فرض شده که magmaهای آندزیتی نتیجه تفریق magmaهای بازالتی هستند، در فشارهای بالا، گارنت و کلینوپیرکسن می‌توانند از یک magmaی بازالتی جدا شوند. در فشارهای پایین پیروکسن همراه با پلازیوکلاز و الیوین در غیاب آب و همین این کانیها بعلاوه آمفیبول در حضور آب تفریق حاصل می‌کنند.

- منشاء آلایش magmaی: نظریه آلایش magmaی بازالتی به وسیله پوسته به دلیل گسترش فراوان آندزیتها در جزایر قوسی یعنی جایی که پوسته قاره‌ای وجود ندارد و نسبت پایین ایزوتوپی $^{87}Sr/^{86}Sr$ برای اغلب آندزیتها که از بازالت‌های همراه معمولاً کمتر است، رد شده است.

ممکن است آندزیتها مانند هر magmaی دیگر مقداری آلایش با مواد رسوبی نشان دهند اما این فرآیند نمی‌تواند به تنها یی به وجود آورنده یک نوع magmaی جدید باشد.

- منشاء اختلاط magmaی: نظریه اختلاط magmaی برای کسانی جالب است که می‌کوشند تا منشاء تمام سنگهای آذرین را در دو magmaی اصلی بازالتی و گرانیتی خلاصه کنند. فرضیه اختلاط magmaی، عدم تعادل کانی‌شناسی موجود در بسیاری آندزیتها را توجیه می‌کند. به ویژه اگر قبل از اختلاط magmaها هر کدام از دو magma تا حدودی متبلور شده باشند (معین‌وزیری و احمدی، ۱۳۷۷).

۱-۲ سریهای ماگمایی

در یک منطقه‌ی آتشفشاری معین گدازه‌ها دارای پاره‌ای اختصاصات شیمیایی یکسان هستند که اختصاص به همان منطقه دارند. سیر تدریجی تغییرات ترکیب شیمیایی و کانی‌شناسی از یک گدازه به گدازه‌های دیگر نشانه‌ی رابطه‌ی خویشاوندی گدازه‌ها با هم و منشأ گرفتن از یک منبع مشترک است، در این حالت می‌گوییم که گدازه‌ها از یک سری ماگمایی هستند. به طور کلی تعداد ۵ سری ماگمایی مشخص و معلوم شده است که عبارتند از: سری توله ایتی، سری آلکالن، سری کالک-آلکالن، سری شوشونیتی، سری تحولی. همانگونه که ذکر شد هر کدام از سری‌های ماگمایی دارای اختصاصات ژئوشیمیایی خاص خود می‌باشند.

سری تولثیتی: این سری غنی از سیلیس و فقیر از سدیم و پتاسیم است. در اثر تبلور تفریقی این سری به ترتیب بازالت تولثیتی، ایسلاندیت و ریولیت تولید می‌شود.

سری کالک-آلکالن: در این سری Al_2O_3 بیش از ۱۷ درصد است. کوارتز کم و فلدسپار زیاد است. همیشه مقدار سدیم از پتاسیم بیشتر است. در اثر تبلور تفریقی به ترتیب بازالت کالک-آلکالن (بازالت پر آلومینیوم)، آندزیت بازالتی، آندزیت و داسیت تولید می‌شود. کانی‌های خیلی شاخص آن ارتوپیروکسن‌ها هستند که هم به صورت فنوکریست و هم به صورت میکروکریستال دیده می‌شوند.

سری آلکالن: در این سری مقدار سدیم و پتاسیم از مقدار منیزیم و کلسیم بیشتر است و فقیر از سیلیس هستند. سری آلکالن شامل بازالت آلکالن، بازانیت و نفلینیت است که از بازالت آلکالن در نتیجه‌ی تفرقی، تراکیت به دست می‌آید.

سری تحولی: این سری بین سری‌های تولثیتی و آلکالن قرار دارد و مشخصات هر دو گروه را نشان می‌دهد.

سری شوشونیتی: درصد پتاسیم این سری زیاد است، درصد تیتان کم و مقدار سیلیس آن متغیر است.

۱-۲-۱ ماگماهای سری کالک-آلکالن

سری‌های سنگ‌های آذرین با محیط‌های تکتونیکی رابطه‌ی خیلی نزدیکی دارند و شمار زیادی از مطالعات علت تولید مذاب‌های متفاوت در خاستگاه‌های مختلف تکتونیکی را بررسی کرده است. سری کالک-آلکالن معمولاً در حاشیه‌های عال قاره‌ای دیده می‌شود، جایی که گوشه‌هه به علت فروزانش پوسته‌ی اقیانوسی خنک شده و ماگمای تولید شده به پایین‌ترین حد سولیدوس پریدوتیت نسبت داده می‌شود که پایین آمدن حد سولیدوس در نتیجه‌ی آزاد شدن آب و دیگر مواد فرار از ورقه‌ی فروزانده صورت می‌گیرد (Arculus, 1994). این سری ماگمایی با غنی‌شدگی در عناصر لیتوфیلی درشت یون (LILE) و همچنین تنی‌شدگی در عناصر با شدت میدان بالا (HFSE) مشخص می‌شوند و آنومالی منفی در Nb و Ta در نسودارهای چند عنصری نشان می‌دهند (Pearce, 1982). این خصوصیات ژئوشیمیایی معمولاً در اثر اضافه شدن سیالات آبدار، حاصل از لیتوسفر اقیانوسی فرورفته، و مذاب‌های حاصل از رسوبات فروزانده شده‌ی روی گوهی گوشه‌ای که در پایین‌تر از حد سولیدوس گوشه باعث ایجاد ماگما می‌شوند، بوجود می‌آید (Iwamori, 1998). بنابراین باید گفت: یا ماگمای آندزیتی در مناطقی که در حال فروزانش نیستند ندرتاً دیده می‌شود؛ یا اینکه بین خاتمه‌ی عمل فروزانش و فعالیت‌های ماگمایی حاصل از فروزانش یک فاصله‌ی زمانی طولانی می‌تواند وجود داشته باشد. این فاصله‌ی زمانی مطابق آنچه در ایالت واشینگتن دیده می‌شود می‌تواند از ۱۵ تا ۲۰ میلیون سال نیز تجاوز کند. به نظر می‌رسد که نظریه‌ی دوم صحیح‌تر باشد، زیرا گدازه‌های کالک-آلکالن زمان حال در مناطقی یافت شده‌اند آن‌های آن مناطق چندین میلیون سال پیش در حال فروزانش بوده‌اند. ماگماهای کالک-آلکالن می‌تواند در اثر فشارزدایی و ذوب گوهی گوشه‌ای که در گذشته فروزانده شده تشکیل شود (Cameron et al., 2003) و یا در اثر ذوب گوشه‌ی لیتوسفری قاره‌ای که قبل‌اً در اثر فرایند فروزانش دچار تغییر شده است ایجاد شود (Fan et al., 2003). در هر دوی این موارد کشش‌های لیتوسفری تولید ماگما را کنترل می‌کنند، در حالیکه ویژگی‌های ژئوشیمیایی ماگما از فرایندهای فروزانشی قدیمی به ارت برده شده است. بدین ترتیب ماگماتیسم کالک-آلکالن می‌تواند بدون هم‌عصری با فرایند فروزانش رخ دهد و یا در ادامه‌ی فروزانش متوقف شده روی دهد. ماگماتیسم پس از برخوردی توسط تفاوت‌های استثنائی پترولوزیکی و ژئوشیمیایی محصولاتش متمایز می‌شوند. دامنه‌ی آنها معمولاً از کالک-آلکالن (پتاسیم پایین تا پتاسیم بالا و اغلب شوشوونیتی)

تا آلکالن (آلکالی بازالت تا بازانیتی و حتی التراپاتسیک) است و اغلب بایومدال هستند یعنی مافیک و اسیدی هستند (Miller, 1999). برای ماقم تیسم کالک-آلکالن منشأهای متنوعی در نظر گرفته شده است که شامل موارد زیر است: گوشه‌ی آمتونوسفری عمیق زیر قاره‌ای یا زیر اقیانوسی؛ گوشه‌ی لیتوسفری زیر قاره‌ای یا زیر اقیانوسی، گوشه‌ی لیتوسفری زیر اقیانوسی که می‌تواند ماهیت تهی شده (منشأ نوع MORB) یا متاسوماتیسم شده داشته باشد که حالت متاسوماتیسم طی رویدادهای فرورانشی سابق از طریق حمل سیالات بخش‌های رسوبی ایجاد شده است؛ پوسته‌ی قاره‌ای بالایی یا پایینی، که می‌تواند از طریق مذاب آناتکتیک درگیر شود (Zeck et al., 1998)، و یا آلودگی مذاب‌های مشتق شده از گوشه توسط پوسته، همراه با تبلور بخشی (AFC)، یا فرایندهای پیچیده‌ی بیشتری (مثل ذوب، هضم، ذخیره‌سازی و موثرنیزه شدن MASH) (Hoernle et al., 1995). نقش و میزان مشارکت هر کدام از این منابع گوناگون و هر یک از این فرایندها در ماقم‌تیسم پس از برخوردی معمولاً در طی زمان تغییر می‌کند.

سری کالک-آلکالن خاص مناطق کوهزایی بوده و در موقعیت‌های تکتونیکی جزایر قوسی، حواشی فعال قاره‌ای و قوس‌های بعد از تصادم مشاهده می‌شوند. تفاوت عمدی سنگ‌های سنگ‌های کالک-آلکالن جزایر-قوسی و حاشیه‌ی قاره‌ها به قرار زیر است:

الف) سنگ‌های اسیدی سری کالک-آلکالن حاشیه‌ی قاره‌ها به شکل سنگ‌های آذرآواری و پهنه‌های ایگنیمیریت دیده می‌شوند، در حالی که این سنگ‌ها در جزایر قوسی به صورت پهنه‌های کم وسعت همراه با ابرهای سوزان مشاهده می‌گردند.

ب) از نظر درصد SiO_2 ، سری کالک-آلکالن حاشیه‌ی قاره‌ها با سری کالک-آلکالن جزایر قوسی اختلاف جزئی دارد، درصد SiO_2 در سری کالک-آلکالن حاشیه‌ی قاره‌ها ۵۶ تا ۷۵ و در جزایر-قوسی بین ۵۰ تا ۶۶ در نوسان است.

ج) درصد K_2O در سری کالک-آلکالن حاشیه‌ی قاره‌ها بیشتر از سری کالک-آلکالن جزایر قوسی است.

د) تفاوت‌های کانی‌شناسی، در آندزیت‌های سری کالک-آلکالن حاشیه‌ی قاره‌ها فنوکریست‌های

هورنبلند و بیوتیت دیده می‌شود، در حالی که در آندزیت‌های سری کالک-آلکالن جزایر قوسی بیشتر فنوکریست‌ها از نوع کلینوپیروکسن و ارتوبیروکسن می‌باشند.

لازم به ذکر است، سری کالک-آلکالن در پوسته‌های ضخیم شده (موقعیت بعد از تصادم) دارای مقادیر بالای K_2O بوده و سری کالک-آلکالن پتانسیم بالا خوانده می‌شوند. در سری کالک-آلکالن، سنگ‌های ولکانیکی نظیر بازالت، آندزیت، بازالتی، آندزیت، داسیت، ریوداسیت، ریولیت و همچنین از سنگ‌های پلوتونیکی، گابرو، دیوریت، گرانودیوریت، تونالیت و گرانیت وجود دارند. در مقایسه با سایر سنگ‌ها، به لحاظ حجمی، آندزیت‌ها و گرانیتوئیدها فراوان‌ترین سنگ‌های این مجموعه، به خصوص در حاشیه‌ی قاره‌ها و پوسته‌های سختیم شده، به حساب می‌آیند.

۱-۳-۱ فعالیتهای ماقمایی رخداده در طول فرایند کوه‌زایی

۱- قبل از تصادم (ماگماتیسم فرورانشی)

۲- همزمان با تصادم

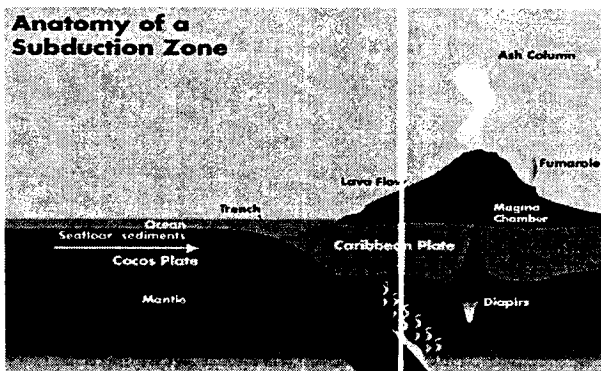
۳- بعد از تصادم تقسیم نمود.

معمولًاً در اثر ماگماتیسم شدید قبل و بعد از تصادم، کمربندهای ولکانو-پلوتونیک گستردۀ‌ای پدید می‌آید، که به ترتیب قوسهای فرورانش (جزایر قوسی و حواشی فعال قاره‌ای) و قوس‌های بعد از تصادم نامیده می‌شوند. قوس‌های مزبور حاوی حجمهای عظیمی از سنگ‌های آتشفسانی و پلوتونیک از جمله آندزیتها، بازالتها و سنگهای گرانیتوئیدی می‌باشند. در ادامه، فرایندهای ماقمایی قوس‌های فرورانشی مزبور بطور اجمال مور: بررسی قرار می‌گیرد:

۱-۳-۲ ژنر ماقمایی در قوسهای فرورانشی

ورود مکانیکی یک لیتوسفر اقیانوسی به زیر لیتوسفر دیگر (اقیانوسی، قاره‌ای و شبه قاره‌ای) در مناطق فرورانش، موجب بوجود آمدن تغییرات بسیار مهم در گوشه و خود صفحه‌ی فرورانده می‌گردد. بروز این تغییرات فیزیکو-شیمیایی، به تشکیل ماگماهای متنوع در مناطق مذکور منجر می‌شود. علیرغم وجود ارتباط بسیار روشن بین فرورانش لیتوسفر اقیانوسی و تشکیل ماگما در جزایر

قوسی و حواشی فعال قاره‌ای، باز نقش لیت‌سفر فروزانده به هیچ وجه یک نقش ساده‌ای نیست. مدل‌های پتروژئنیکی پیشین، ذوب بخشی پوسته‌ی اقیانوسی فروزانده را در تولید ماقماهای عظیم آندزیتی خاص این مناطق تکتونیکی، دخیل می‌دانستند. با این وجود، بیشتر مدل‌های امروزی بر پدیده‌ی چند مرحله‌ای - چند منشایی تأکید دارند که تا حد زیادی گوهی گوشه‌ای را شامل می‌شود. بطور کلی تشکیل ماقما در هر محیطی، در جاهای شروع می‌گردد که حرارت از دمای سالیدوس انواع سنگهای مختلف موجود تجاوز کند. اکنون بنظر می‌رسد که به احتمال زیاد واکنش آبزدایی در طی گذر از رخساره‌ی شیست آبی به اکلوزیت در عمق تقریبی ۱۰۰ کیلومتری بجای پدیده‌ی ذوب، یک فرایند کلیدی محسوب می‌گردد که قصعات فروزانده را تحت تأثیر قرار می‌دهد (شکل ۱-۱).



(شکل ۱-۱)، طرح شماتیک ۱. موقعیت تکتونیکی فروزانش (Peacock, 1993)

سیالات آبدار غنی از مواد حل شده، آهه از قطعه‌ی فروزانده آزاد می‌گردند، گوهی گوشه‌ای را متاسوماتیزه کرده و آنرا از مواد فرار، سولفور، سیلیس و سیالات حاوی عناصر لیتوفیل بزرگ یون متحرک (LILE) نظیر Sr , Ba , Cs , Rb غنی می‌سازد (De Hoog et al., 2001). هر چند عناصر با میدان پایداری بالا (HFSE) مانند Nb , Ti , Ta و Ta توسط این فرایند جابجا نمی‌گردند و در قطعه‌ی فروزانده در داخل کانی‌هایی مانند روتیل حفظ می‌شوند (Foley et al., 2000). مدل‌هایی که این تهی شدگی نسبی از عناصر Nb , Ti و Ta را توضیح داده‌اند، پیشنهاد می‌کنند که روتیل یا تیتانیت بعنوان فاز بازمانده (restite) در طول ذوب قطعه با گوهی گوشه‌ای باقی می‌مانند (Prouteau et al., 1999). آبگیری و متاسوماتیسم گوهی گوشه‌ای پریدوتیتی زیر قوس‌ها، فازهای کانیابی جدیدی نظیر آمفیبول و میکا را بوجود آورده، دمای سالیدوس گوشه را تا نقطه‌ی شروع ذوب پائین می‌آورد (Arculus, 1994). محصولات چنین ذوبی بیز بازالت می‌باشد، ولیکن این بازالتها از انواع پشتلهای

میان اقیانوسی (MORB) به واسطهٔ H_2O و LILE فراوان و نابهنجاری‌های پائین Nb, Ti و Ta که منعکس کنندهٔ خاستگاه متاسوماتیزه می‌باشد، قابل تشخیص هستند. چنانچه در بالا نیز اشاره شد، تئوریهای مربوط به ژنز ماگما در قوهای فرورانشی نسبت به مدل‌های کلاسیک، بطور چشمگیر و بنیادی دچار تغییر و تکامل شده، در آنها موضوع ذوب بخشی پوستهٔ فرورانده عنوان منشاء ماگمای قوهای حاصل از فرورانش کنار گذاشته نمده است. در مدل‌های اخیر، بر آزاد شدن یک سیال آبگین و یا ماگمای رقیق شدهٔ سیلیسی (Tenuous magma) بیشتر تأکید می‌گردد. ترکیب این ماگمای رقیق شده تا حد زیادی به مقدار، سن، دگرمانی و منشاء مواد رسوبی بستگی دارد. (Wyllie 1982) مطرح کرد که سیالات آبگین حاصل از واکشهای آبزدایی داخل پوستهٔ اقیانوسی فرورانده، باستی دارای مقادیر قابل ملاحظه‌ای از سیلیکات‌های محلول در فشارات حاکم بر آن شرایط باشد. بنابراین به احتمال زیاد در آنجا به لحاظ ترکیبی، طیف پوسته‌ای از سیالات آبگین سیلیسین دار تا مذابهای بخشی آندزیتی آبدار از داخل قطعهٔ فرورانده، توابد می‌گردد. نقش سیالات آبگین و مذابهای بخشی جدا شده از قطعهٔ فرورانده، یک نقش بسیار مؤمن و اساسی است که تشکیل ماگما در محیط‌های زون فرورانشی را از سایر محیط‌ها و موارد متمایز می‌سازد. در شکل ۱-۱ نشان داده شده است که مذابهای بخشی پوستهٔ اقیانوسی فرورانده، به داخل لرزولیت گوهی گوشه‌ای صعود می‌کنند و در آنجا واکنش داده، ماهیت خود را از دست می‌دهند. یک چنین سیالات جدا شده از قطعهٔ فرورانده (هم سیالات آبگین و هم مذابهای بخشی) دمای سالیدوس مواد گوشه‌ای را پائین آورده و بدین طریق فرایند ذوب بخشی در گوشه گسترش می‌یابد. این سیالات بجای اینکه به عنوان یک منشاء اولیه برای ماگماتیسم قوهای فرورانشی در نظر گرفته شوند، بصورت یک فروکاهنده (Catalyst) برای حجم عمدی این ماگماتیسم‌ها به شمار می‌روند.

۱-۳-۲ ژنز ماگمایی در قوهای بعد از نصادم

در بسیاری از کتب زمین‌شناسی، اتفاقات تکتونیکی و پتروژئنیکی رویداده در موقعیت‌های بعد از تصادم، مشابه ریفت‌های درون قاره‌ای در نظر گرفته می‌شود (Turner et al., 1999). به عنوان یک نقطه‌ی شروع برای شناخت گسترش و تکامل ریفت‌ها، آنها را بر اساس ساز و کارهای عمل ریفتینگ به دو گروه ریفت‌های فعل (Active rifting) و غیرفعال (Passive rifting) تقسیم می‌کنند

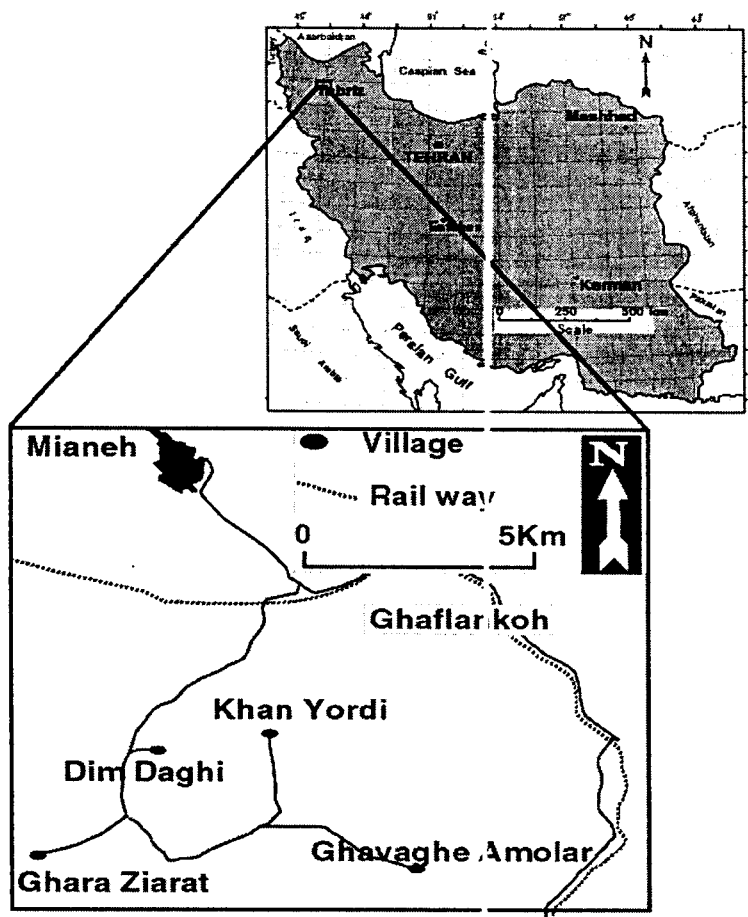
(Sengor and Burke, 1978). علاوه بر نفاوت‌های بسیار، مهمترین وجه تمایز این دو گروه، به ترتیب رخداد فرایندهای گندشدن (Doming)، ترک خوردگی (Cracking) و ماگماتیسم برمی‌گردد که در گروه ریفت‌های فعال ابتدا پدیده‌ی آنبدی شدگی بعد ماگماتیسم و در نهایت ترک خوردگی یا ریفتینگ رخ می‌دهند، در حالی که در گروه ریفت‌های غیرفعال ترتیب ترک خوردگی، گندی‌شدن و ماگماتیسم دیده می‌شود (Ruppel, 1995) در هنگام خاتمه‌ی فروزانش و بسته شدن حوضه‌ی اقیانوسی، دو قاره به یکدیگر برخورد کرده و در اثر تداوم تنש‌های همگрабی، مقداری از پوسته‌ی قاره‌ای همگرا نیز به زیر پوسته‌ی قاره‌ای رئین کشیده می‌شود، ولیکن شناوری و چگالی اندک، مانع از فروزاندگی آن در حد قابل ملاحظه‌ای می‌گردد. این امر به همراه چین خوردگی مواد پوسته‌ای، پیدایش گسله‌های معکوس و رورانده و تزییق ماگماهای تولید شده به داخل پوسته، در نهایت باعث ضخیم شدگی پوسته گردیده و اتفاقات متعاقب آن را موجب می‌شود.

فصل دوم

مواد و روش ها

۱-۲ موقعیت جغرافیایی و راههای دسترسی به منطقه

سنگهای آتشفسانی منطقه مورد مطالعه بین طولهای جغرافیایی "۱۰°۴۵' و "۱۰°۴۸' شرقی و عرضهای "۳۹°۲۰' و "۳۹°۲۴' شمالی، بخش جنوبی نقشه چهارگوش (۱:۱۰۰۰۰) میانه، در فاصله ۲۰ کیلومتری جنوب شرقی میانه قرار دارد. راههای دسترسی به منطقه و موقعیت آن نسبت به ایران در شکل ۱-۲ و لیتلوزیهای موجود در منطقه در شکل ۲-۲ نشان داده شده است. نزدیکترین روستا به منطقه مورد بررسی روستای خان یورزدی است.



(شکل ۲) نقشه راههای دسترسی به منطقه مورد مطالعه